Исследование качества летних сезонных ретроспективных прогнозов, выполненных на основе климатической модели ИВМ РАН

В. В.Воробьева 1,2 , Е.М. Володин 1

- 1 Институт вычислительной математики им Г. И. Марчука, Москва
- ² Московский физико-технический институт (национальный исследовательский университет), Долгопрудный

CITES - 2021

22 ноября 2021



Климатическая модель ИВМ РАН (INMCM5-0)

Атмосфера:

- ➤ 2x1.5L73, верхняя граница на 60 км
- ▶Уравнения гидротермодинамики атмосферы решаются конечноразностным методом
- ▶Дополнен аэрозольным блоком, в котором рассчитываются прогностические уравнения для концентрации 10 веществ

Океан:

- >0.5 x0.25L40
- >Дополнен блоком эволюции морского льда

Обмен данными с помощью библиотеки MPI.

Модель ИВМ РАН разрабатывалась для климатических расчетов на несколько десятков и сотен лет.

<u>Цель:</u> исследование предсказуемости погоды на сезонном временном масштабе с помощью климатической модели ИВМ РАН

Составление набора начальных данных Океан

Среднемесячные данные SODA3.4.2 за 1980-2014 года:

http://dsrs.atmos.umd.edu/DATA/soda3.4.2/REGRIDED/ocean/http://dsrs.atmos.umd.edu/DATA/soda3.4.2/REGRIDED/ice/

Метеополя реанализа

- > salt практическая соленость
- ➤ temp потенциальная температура
- **>ssh** − уровень моря
- **≻mi** масса льда
- **≻hs** толщина льда
- ➢nc1, nc2, nc3, nc4, nc5 концентрация льда в 5-ти градациях толщины

Методика устранения смещения модельного климата по отношению к реальному:

$$W_{1MAY1980} = \overline{W_{M_{1MAY}}} + \left(W_{R_{1MAY1980}} - \overline{W_{R_{1MAY}}}\right) \tag{1}$$

Составление набора начальных данных Атмосфера

Данные ERA-Interim на 00:00 1 мая 1980-2014 года:

http://apps.ecmwf.int/datasets/data/interim-full-daily/levtype=sfc/
http://apps.ecmwf.int/datasets/data/interim-full-daily/levtype=pl/

Метеополя реанализа

U-компонента скорости ветра V-компонента скорости ветра Температура воздуха Удельная влажность Давление на поверхности

Температура поверхности Толщина снега Температура почвы Влажность почвы

Модифицированная методика устранения смещения модельного

климата по отношению к реальному:
$$W_{1MAY1980} = \overline{W}_{M_{1MAY}} + \left(W_{R_{1MAY1980}} - \overline{W}_{R_{1MAY}}\right) \times \frac{W_m^{rms}}{W_r^{rms}}$$
 (2)

!!! Для толщины снега, температуры и влажности почвы результат вычисляется с умножением аномалии на отношение среднеквадратичных отклонений модели и реанализа, чтобы привести значения физических величин к одному диапазону.

Модельные эксперименты

- Эксперименты сезонного временного масштаба проводились для 1980-2014 годов
- ➤ Начало экспериментов 1 мая
- ▶Продолжительность 5 месяцев
- ▶Для каждого года ансамбль из 20 экспериментов: небольшое отклонение начальных данных скорости ветра и температуры воздуха

Модельные эксперименты проводились на кластере Гидрометцентра РФ

Коэффициенты корреляции аномалий по пространству

	T2m	T850	H200	H500	Precip	SLP
Глобально	0.209/0.190 0.210	0.178/0.177 0.196	0.216/0.233 0.249	0.172/0.170 0.200	0.216/0.221 0.231	0.179/0.163 0.196
Тропики 20°ю.ш20°с.ш.	0.385/0.381 0.389	0.215/0.224 0.228	0.449/0.453 0.466	0.209/0.254 0.246	0.263/0.271 0.278	0.532/0.530 0.541
Северные экстратропики 20° с.ш90° с.ш.	0.230/0.239 0.247	0.126/0.129 0.146	0.124/0.127 0.139	0.098/0.113 0.120	0.091/0.093 0.106	0.203/0.176 0.211
Южные экстратропики 90° ю.ш20° ю.ш.	0.112/0.074 0.100	0.162/0.145 0.178	0.176/0.191 0.217	0.177/0.167 0.207	0.108/0.100 0.118	0.135/0.121 0.144

Табл. Средние за летние сезоны 1980-2014гг. коэффициенты корреляции аномалий:

- температуры на 2 метрах
- ➤ температуры на 850гПа
- геопотенциала изобарической поверхности 200 гПа
- ▶ геопотенциала изобарической поверхности 500 гПа
- ➤ осадков
- давления на уровне моря

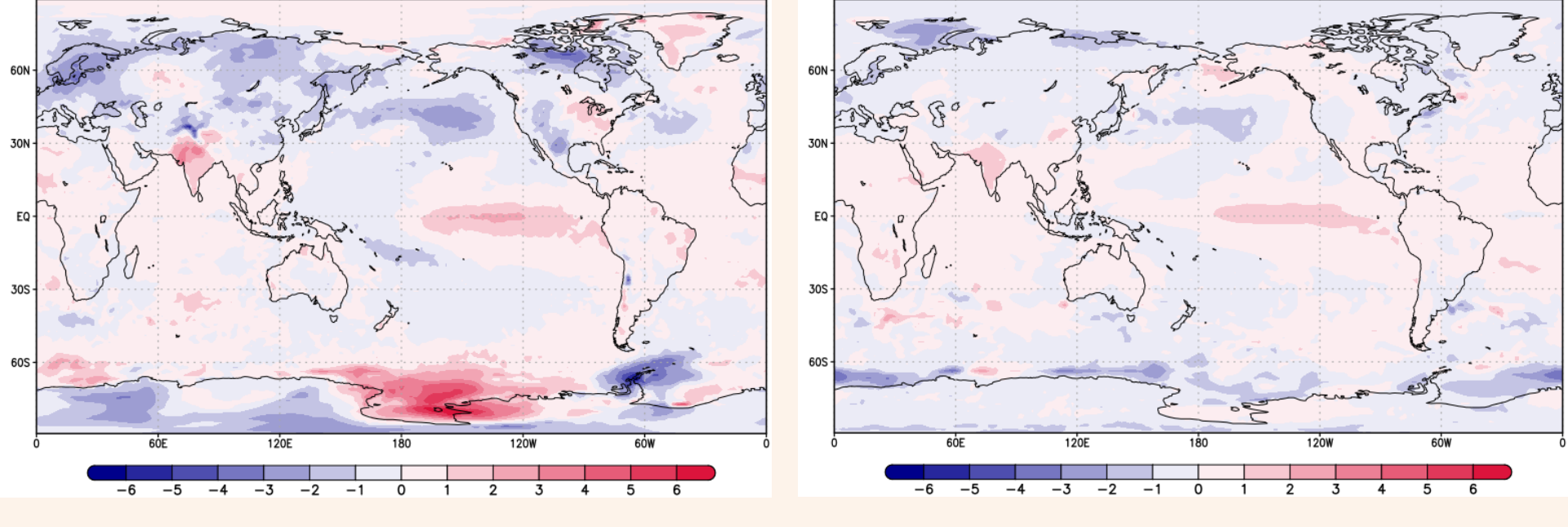
для четырех регионов для климатической модели ИВМ РАН (для двух ансамблей из 10 экспериментов и для ансамбля из 20 экспериментов).

Коэффициенты корреляции аномалий по пространству

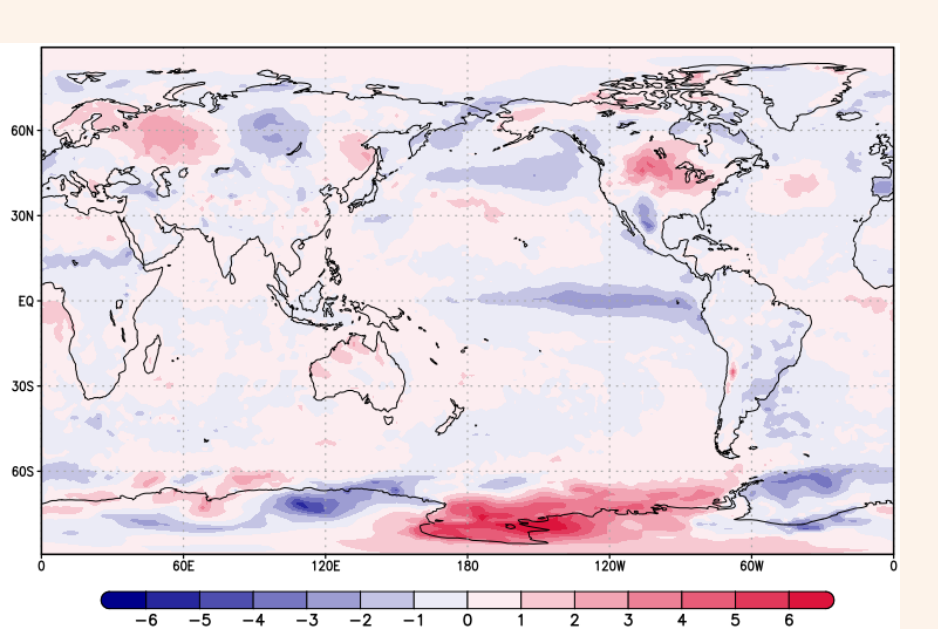
Summer season	T2m anom.	JJA ONI	Summer	T2m anom.	JJA	Summer	T2m anom.	JJA	Summer season	T2m anom.	JJA
Jeason	corr.	index	3643611	corr.	index	5545511	corr.	index		corr.	index
1980	0.189	0.3	1989	0.344	-0.3	1998	0.625	-0.8	2007	0.486	-0.6
1981	0.328	-0.3	1990	0.163	0.3	1999	0.504	-1.1	2008	0.299	-0.4
1982	0.394	0.8	1991	0.334	0.7	2000	0.332	-0.6	2009	0.290	0.5
1983	0.618	0.3	1992	0.443	0.4	2001	0.320	-0.1	2010	0.603	-1.0
1984	0.494	-0.3	1993	0.357	0.3	2002	0.269	0.8	2011	0.335	-0.5
1985	0.402	-0.5	1994	0.459	0.4	2003	0.367	0.1	2012	0.156	0.2
1986	0.383	0.2	1995	0.292	-0.2	2004	0.271	0.5	2013	0.445	-0.4
1987	0.561	1.5	1996	0.248	-0.3	2005	0.095	-0.1	2014	0.483	0.0
1988	0.690	-1.3	1997	0.751	1.6	2006	0.288	0.1	Average	0.389	

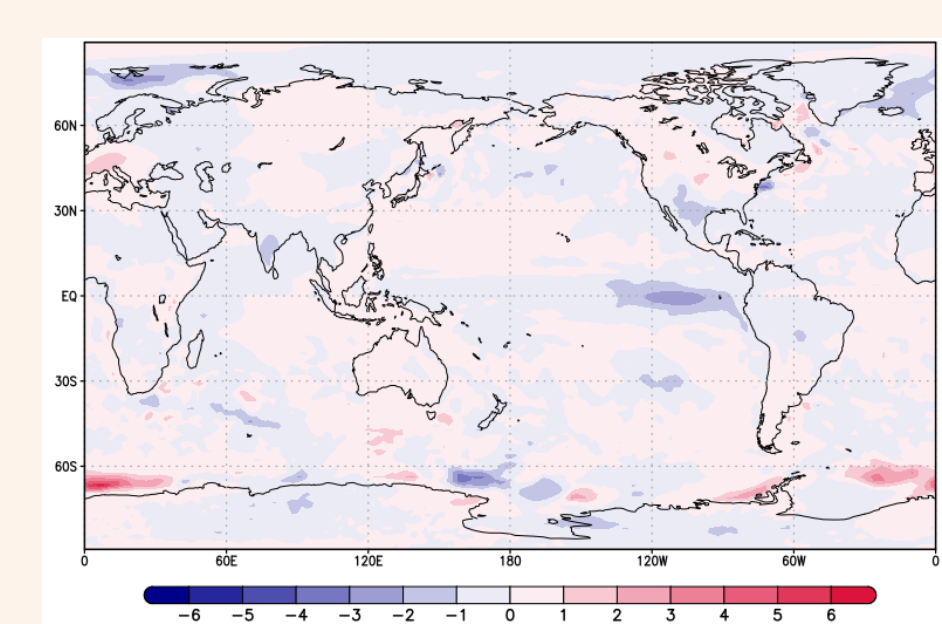
<u>Табл.</u> Коэффициенты корреляции аномалий температуры на 2 метрах в тропиках (20°ю.ш.-20° с.ш.) для каждого летнего сезона 1980-2014 г. и среднее за все летние сезоны значение.

Красный шрифт — явления Эль-Ниньо, синий — явления Ла-Нинья, согласно классификации NOAA: https://origin.cpc.ncep.noaa.gov/products/analysis_monitoring/ensostuff/ONI_v5.php Жирный шрифт — наиболее сильные явления ЭНЮК (аномалия SST > 1° по модулю), заливка — самые сильные.



Аномалии летнего сезона **1987г. (сверху, Эль-Ниньо)** и **1988г. (снизу, Ла-Нинья**), построенные по среднемесячным данным температуры поверхности (°К), осредненным за июнь-июль-август: слева — для реанализа ERA-Interim, справа —для модели ИВМ РАН





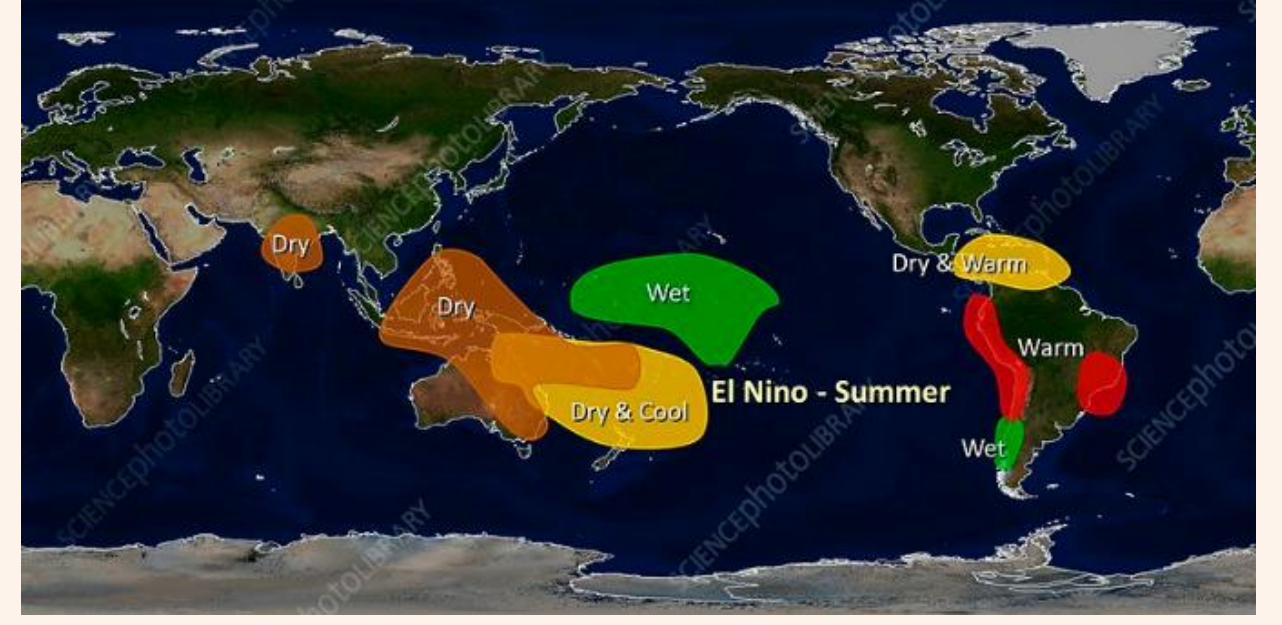
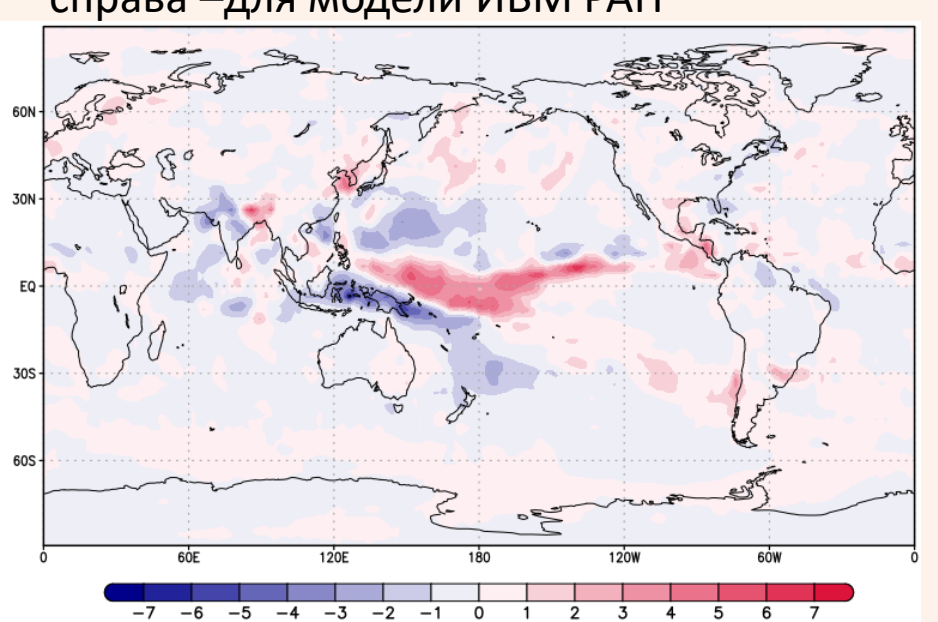


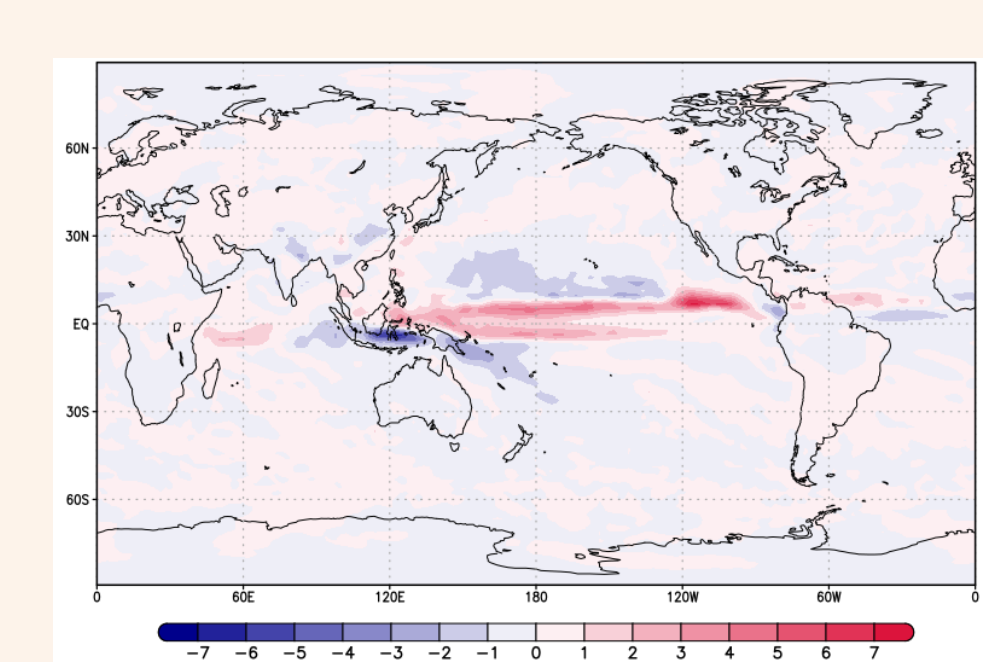
Схема аномалий температуры и осадков, связанных с теплой фазой Эль-Ниньо — Южного колебания, в период зимы и лета Северного полушария. Из [Trenberth et al., 1998]

Аномалии летнего сезона **1987г.**, построенные по среднемесячным данным осадков (мм/день), осредненным за июнь-июль-август:

слева – для реанализа GPCP v2.3

справа –для модели ИВМ РАН





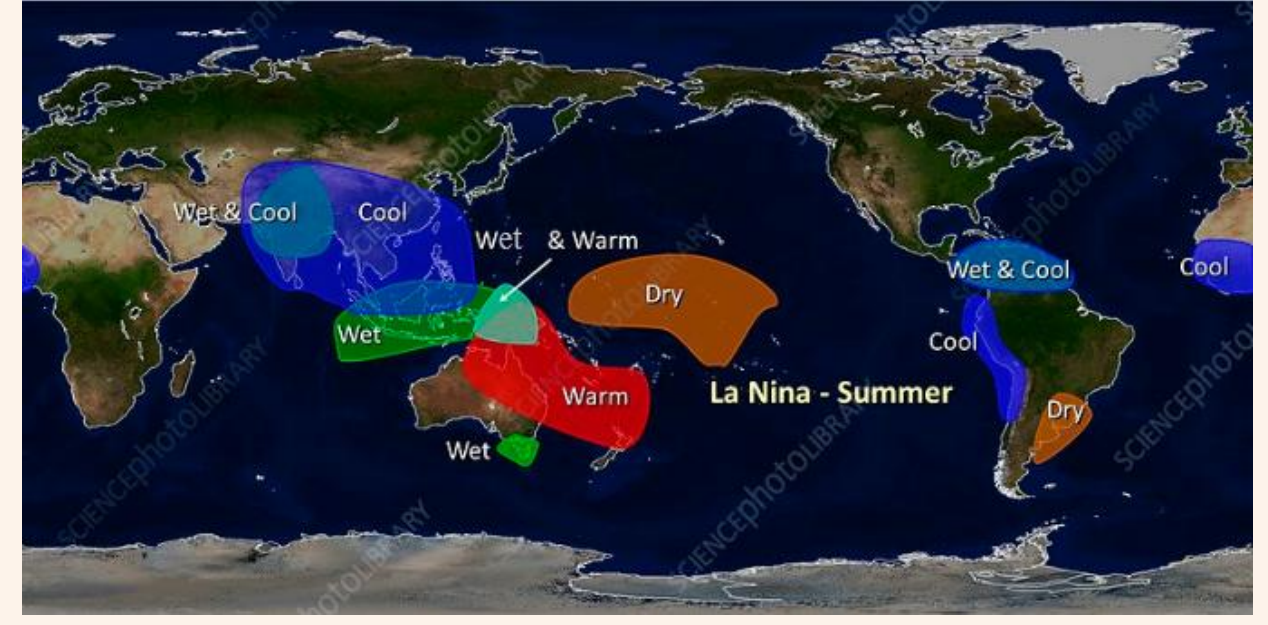
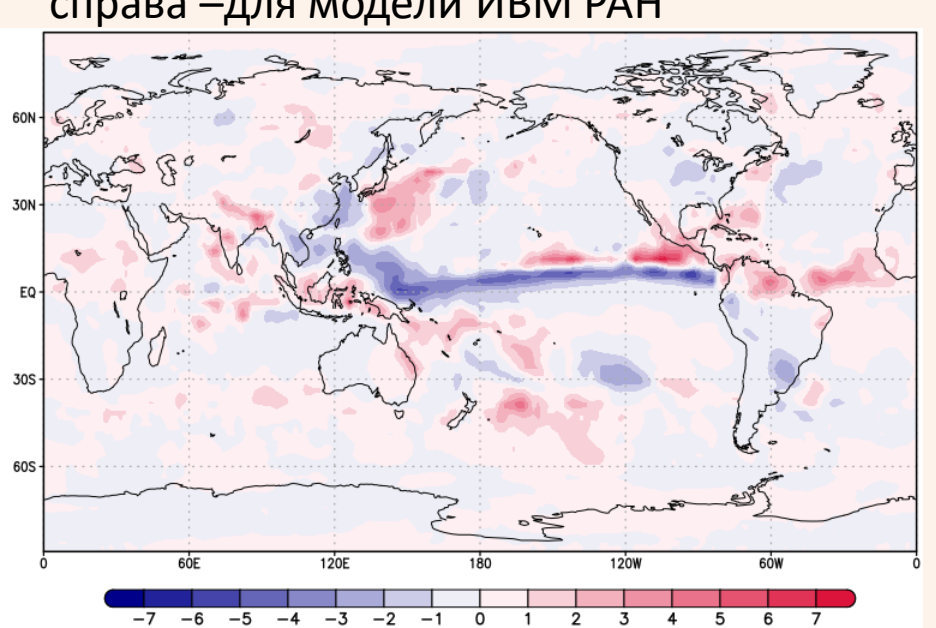


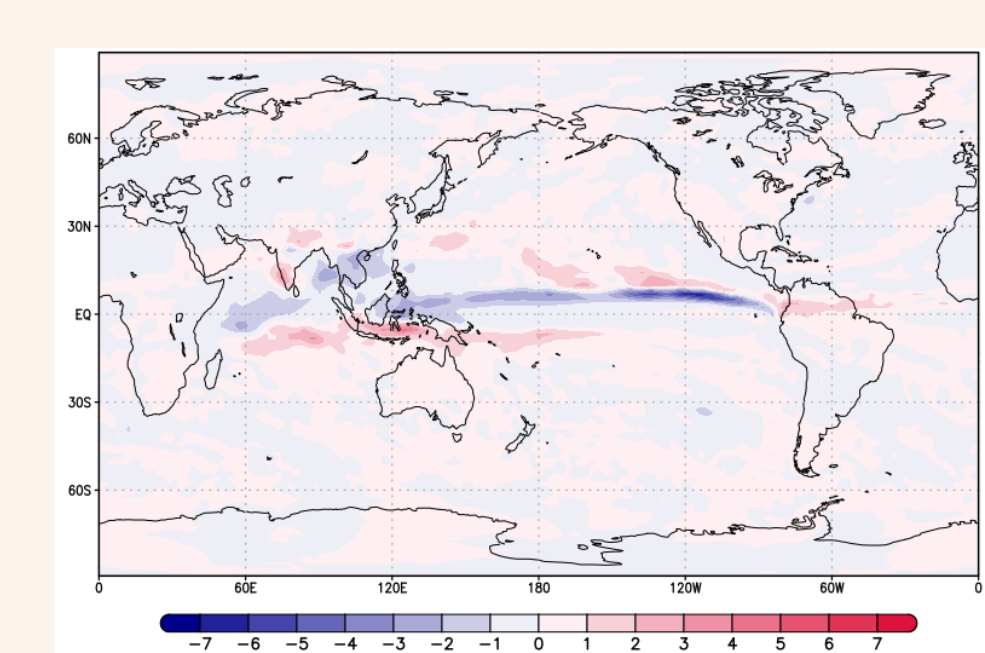
Схема аномалий температуры и осадков, связанных с холодной фазой Эль-Ниньо – Южного колебания, в период зимы и лета Северного полушария. Из [Trenberth et al., 1998]

Аномалии летнего сезона 1988г., построенные по среднемесячным данным осадков (мм/день), осредненным за июнь-июль-август:

слева – для реанализа GPCP v2.3

справа –для модели ИВМ РАН





Коэффициенты корреляции аномалий по времени

Глобально:

	ECMWF	DWD	MeteoFrance	GFS	MetOffice	MME	INM
T2m	0.45	0.39	0.40	0.32	0.44	0.47	0.35
T850	0.41	0.37	0.37	0.31	0.39	0.43	0.28
H500	0.46	0.49	0.43	0.35	0.47	0.49	0.38
SLP	0.44	0.34	0.36	0.33	0.45	0.45	0.38

<u>Табл.</u> Коэффициенты корреляции аномалий по времени АСС для июня-августа 1993-2009г. по данным различных прогностических систем (данные https://wmolc.org/)

На территории России (25E-170W, 40N-80N):

	ECMWF	DWD	MeteoFrance	GFS	MetOffice	MME	INM
T2m	0.28	-	0.24	0.20	0.28	0.30	0.19
T850	0.33	-	0.24	0.24	0.35	0.38	0.23
H500	0.29	-	0.19	0.18	0.30	0.32	0.18
SLP	0.23	1	0.21	0.24	0.21	0.28	0.23

Anomaly Correlation Coefficient (ACC) SCM(Beijing,CPTEC,ECMWF,Exeter,Melbourne,Montreal,Moscow,Seoul,Tokyo,Toulouse,Washington) May 0.487 **INM** (Calculation Time: 1993 - 2009) Jun 0.243 Mean Sea Level Pressure: JJA Jun 0.314 90N 60N 30N EQ 30S 30S 60S 60S 908 120E 180 120W 60W 60E 120W 120E 180 0.2 -0.9 -0.7 -0.5 -0.2 0.5 0.9 0.5 0.7 Jul 0.239 Jul 0.303 90N 60N 30N EQ 305 30S 60S 60S 90\$ 60E 120E 180 120W 60W 120E 0.2 -0.9 -0.7

Anomaly Correlation Coefficient (ACC) SCM(Beijing,CPTEC,ECMWF,Exeter,Melbourne,Montreal,Moscow,Seoul,Tokyo,Toulouse,Washington) **INM** (Calculation Time : 1993 - 2009) Aug 0.265 Mean Sea Level Pressure : JJA Aug 0.361 90N 60N 30N EQ 308 60S 90S 60E 120E 180 120W 60W 120E 180 120W 0.2 0.5 -0.9 -0.7 -0.5 -0.2 0.5 0.7 **JJA 0.376** JJA 0.454 90N 60N 30N EQ 305 60S 60S 908 120E 120W 60E 180 60W 120E 120W

0.9

-0.7

-0.5

-0.2

0.2

0.5

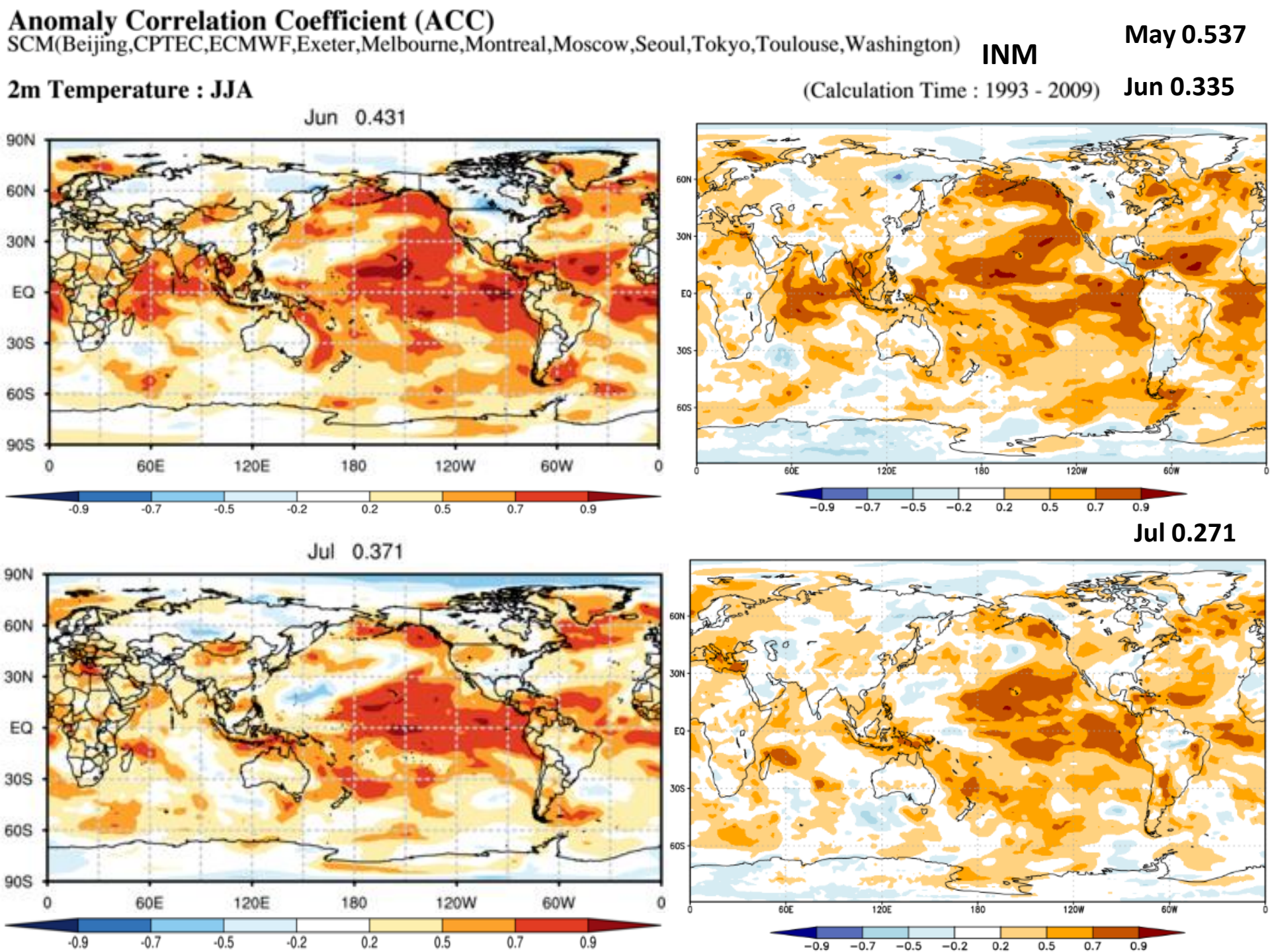
0.7

0.2

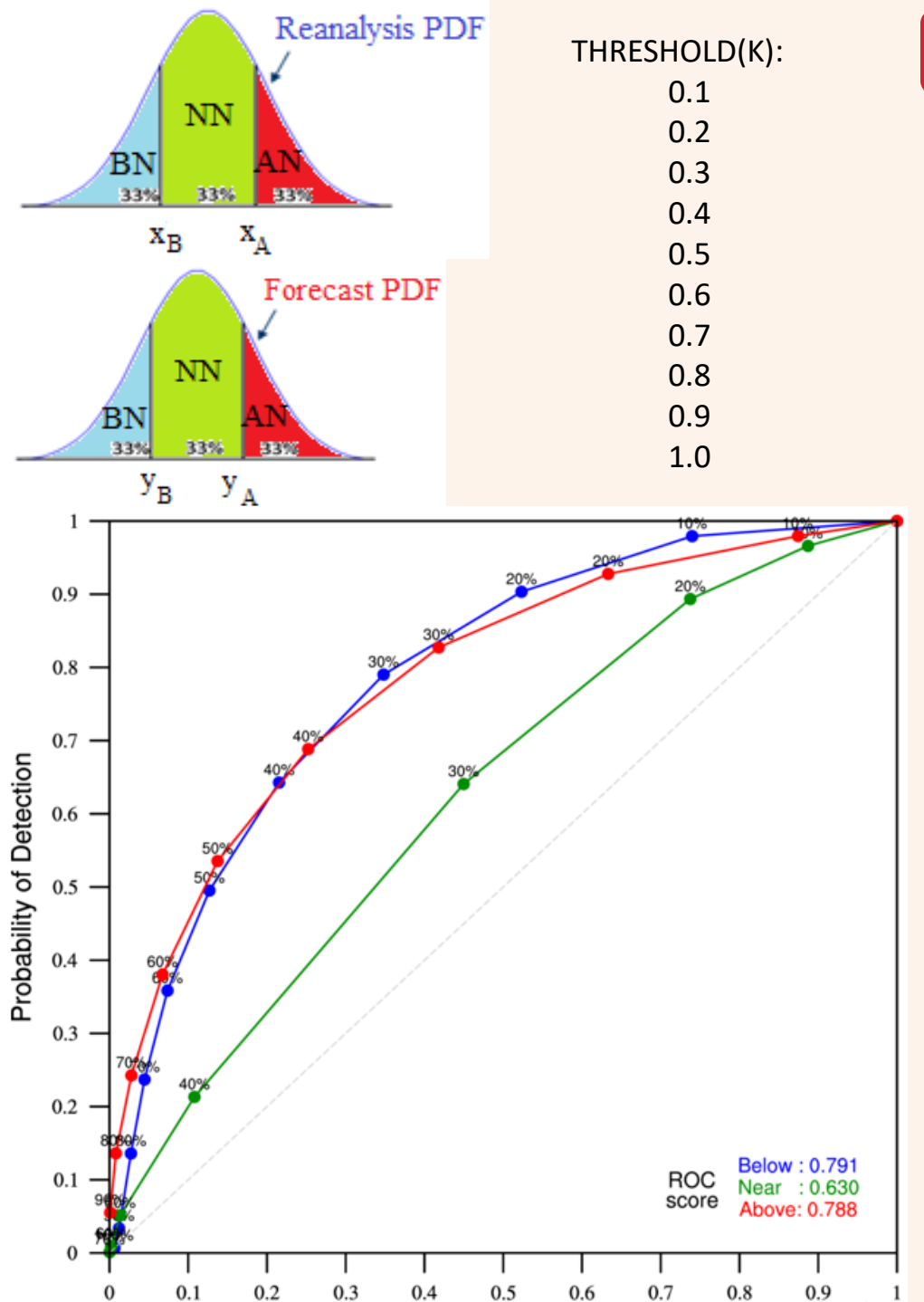
-0.2

-0.9

-0.7



Anomaly Correlation Coefficient (ACC) SCM(Beijing,CPTEC,ECMWF,Exeter,Melbourne,Montreal,Moscow,Seoul,Tokyo,Toulouse,Washington) **INM** 2m Temperature : JJA (Calculation Time: 1993 - 2009) Aug 0.232 Aug 0.355 90N 60N 30N EQ 30\$ 60S 90S 120E 60E 180 120W 60W 120E 120W 0.2 -0.9 -0.5 -0.2 0.5 0.7 JJA 0.227 JJA 0.472 90N 60N 30N EQ 30\$ 60S 60S 90S 120E 60E 180 120W 60W 120E 120W 0.2 -0.9 -0.7 -0.2 0.9 -0.7 -0.5 -0.2 0.5 0.7



ROC score

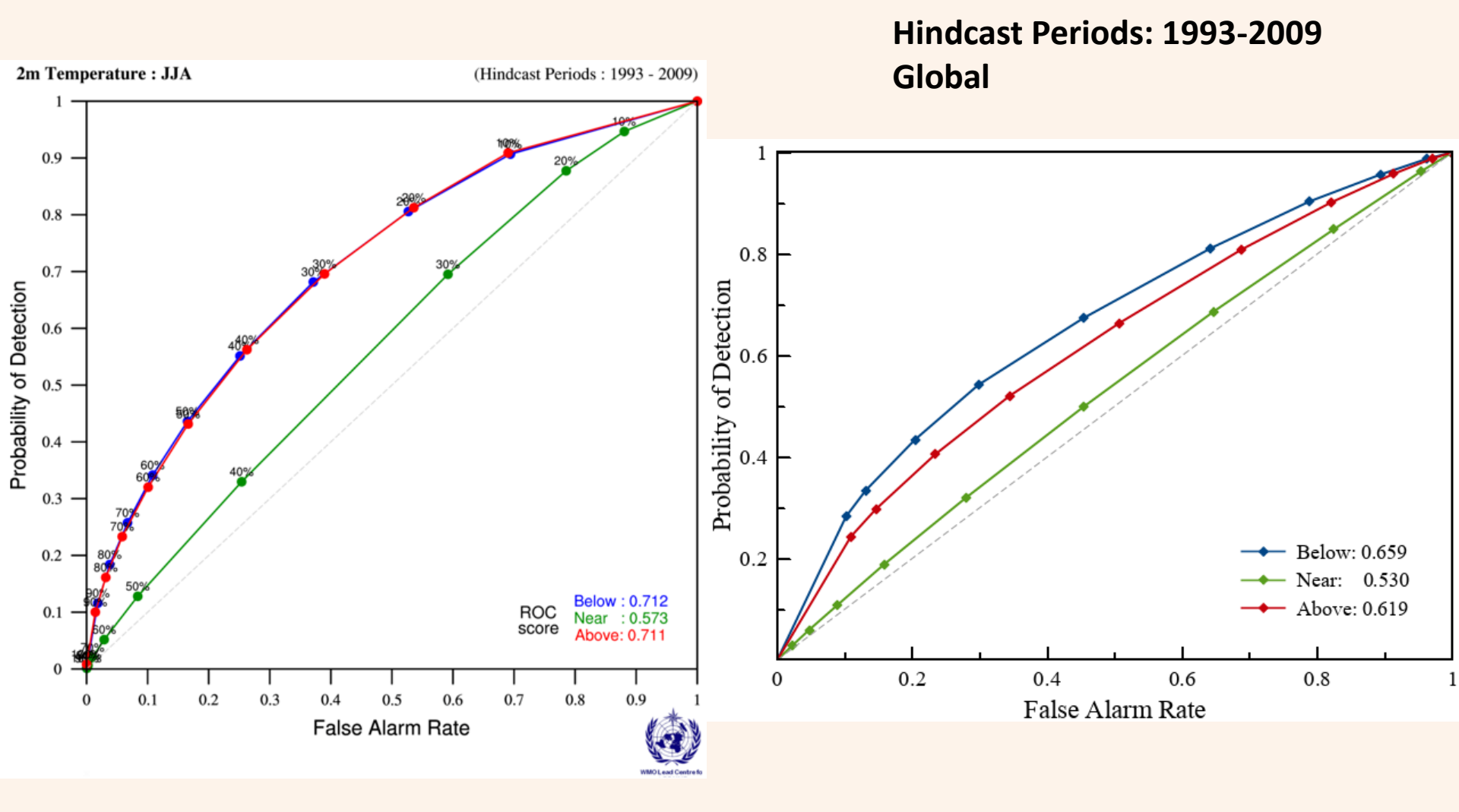
- ▶ ROC вычисляем для события «аномалия поля в верхней/нижней терцили» ▶Вычисляем пороговые значения Xb, Xa, Yb, Үа для каждой точки сетки отдельно для прогнозов и анализов для JJA ▶Для каждой точки (I,J) и каждого летнего сезона IYEAR находим вероятность прогноза категории BN(I,J,IYEAR), как количество экспериментов этого летнего сезона, для которых значение переменной меньше Yb, деленное на полное количество экспериментов этого сезона, т.е. на 20. ▶Для каждого "порога" THRESHOLD(К) количества участников ансамбля при котором событие считается спрогнозированным, отдельно для BN(I,J,IYEAR), NN(I,J,IYEAR) и AN(I,J,IYEAR) смотрим сколько в каждый год "попаданий" (т.е. что событие попадает в BN/NN/AN как для реанализа, так и для прогноза), и "ложных тревог" (т.е. что событие попадает в BN/NN/AN для прогноза, но не попадает для реанализа)
- Строим кривую зависимости доли
 "попаданий" от доли "ложных тревог" и находим площадь под ней

ROC score для JJA

		ECMWF	DWD	MeteoFrance	GFS	MetOffice	MME	INM
								10exp/20exp
	BN	0.722	0.694	0.691	0.655	0.712	0.737	0.651/0.659
T2m	NN	0.586	0.555	0.561	0.537	0.573	0.582	0.529/0.530
	AN	0.715	0.674	0.686	0.644	0.711	0.731	0.608/0.619
	BN	0.715	0.701	0.693	0.662	0.704	0.728	0.645/0.652
T850	NN	0.572	0.542	0.553	0.530	0.558	0.565	0.523/0.525
	AN	0.683	0.649	0.667	0.637	0.680	0.696	0.567/0.574
	BN	0.731	0.755	0.725	0.689	0.750	0.754	0.684/0.709
H500	NN	0.592	0.602	0.575	0.523	0.591	0.595	0.551/0.558
	AN	0.732	0.736	0.704	0.677	0.754	0.756	0.594/0.603
	BN	0.710	0.646	0.669	0.669	0.722	0.729	0.652/0.682
SLP	NN	0.587	0.540	0.544	0.548	0.570	0.578	0.529/0.543
	AN	0.720	0.667	0.665	0.654	0.718	0.722	0.631/0.649
	BN	0.611	0.579	0.581	0.566	0.605	0.621	0.561/0.567
Precip	NN	0.534	0.525	0.519	0.519	0.533	0.538	0.513/0.518
	AN	0.621	0.592	0.595	0.586	0.618	0.639	0.557/0.564

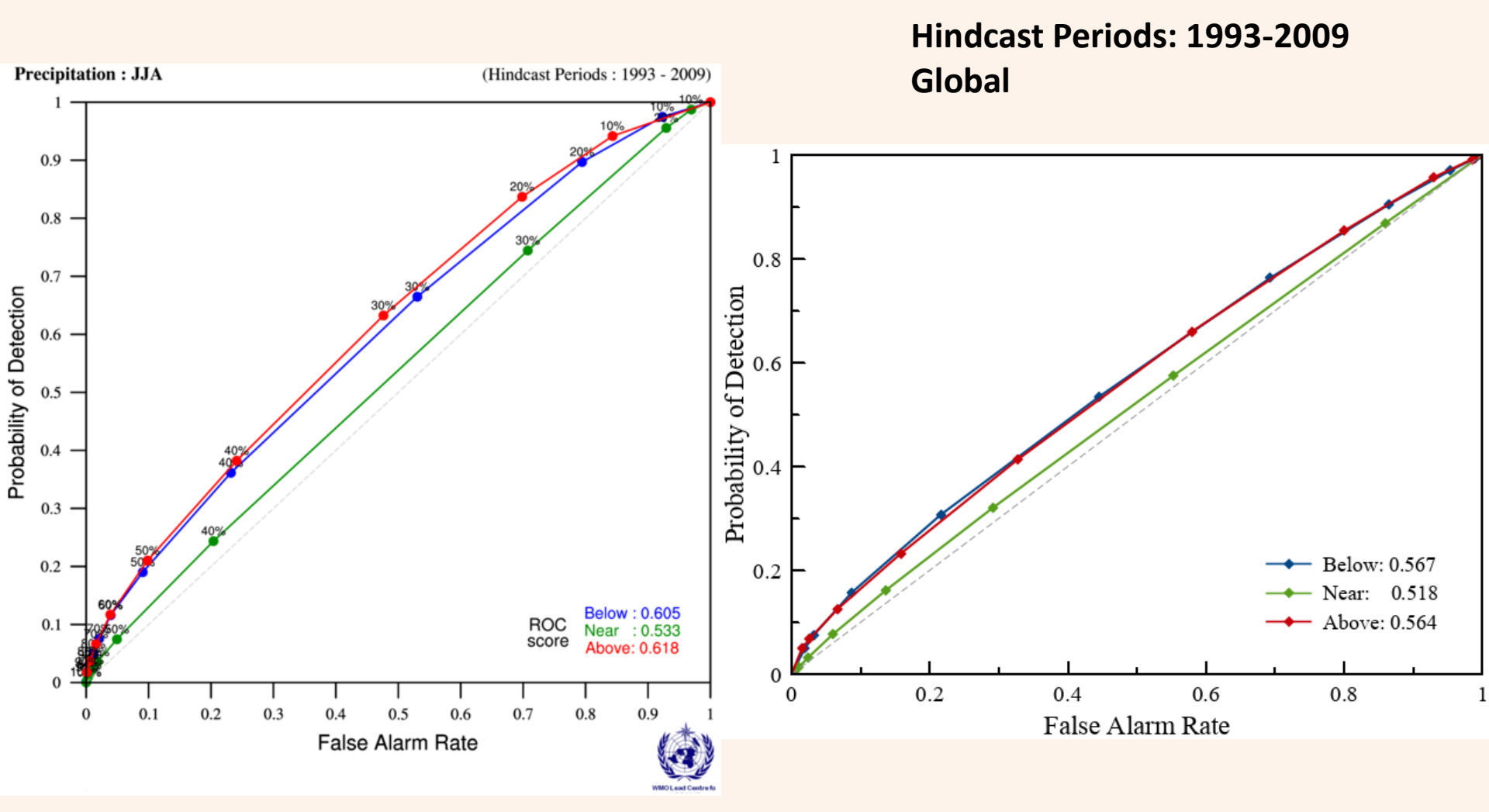
<u>Табл.</u> AUC ROC для различных прогностических систем и мультимодельного ансамбля MME. Для модели INM-CM5 значение приведено для ансамбля из 10 экспериментов (слева от косой черты) и 20 экспериментов (справа от косой черты).

ROC score для JJA T2m



MetOffice INM (20exp)

ROC score для JJA Precip



MetOffice INM (20exp)

MSSS

Пусть
$$\chi_{ij}$$
 и f_{ij} ($i=1,..,n$) -временные ряды наблюдений и непрерывных детерминированных прогнозов для узла сетки ј

Средний квадрат ошибки прогноза:
$$MSE_{j} = \frac{1}{n} \sum_{i=1}^{n} (f_{ij} - x_{ij})^{T}$$

Средний квадрат ошибки «климатологического» прогноза:

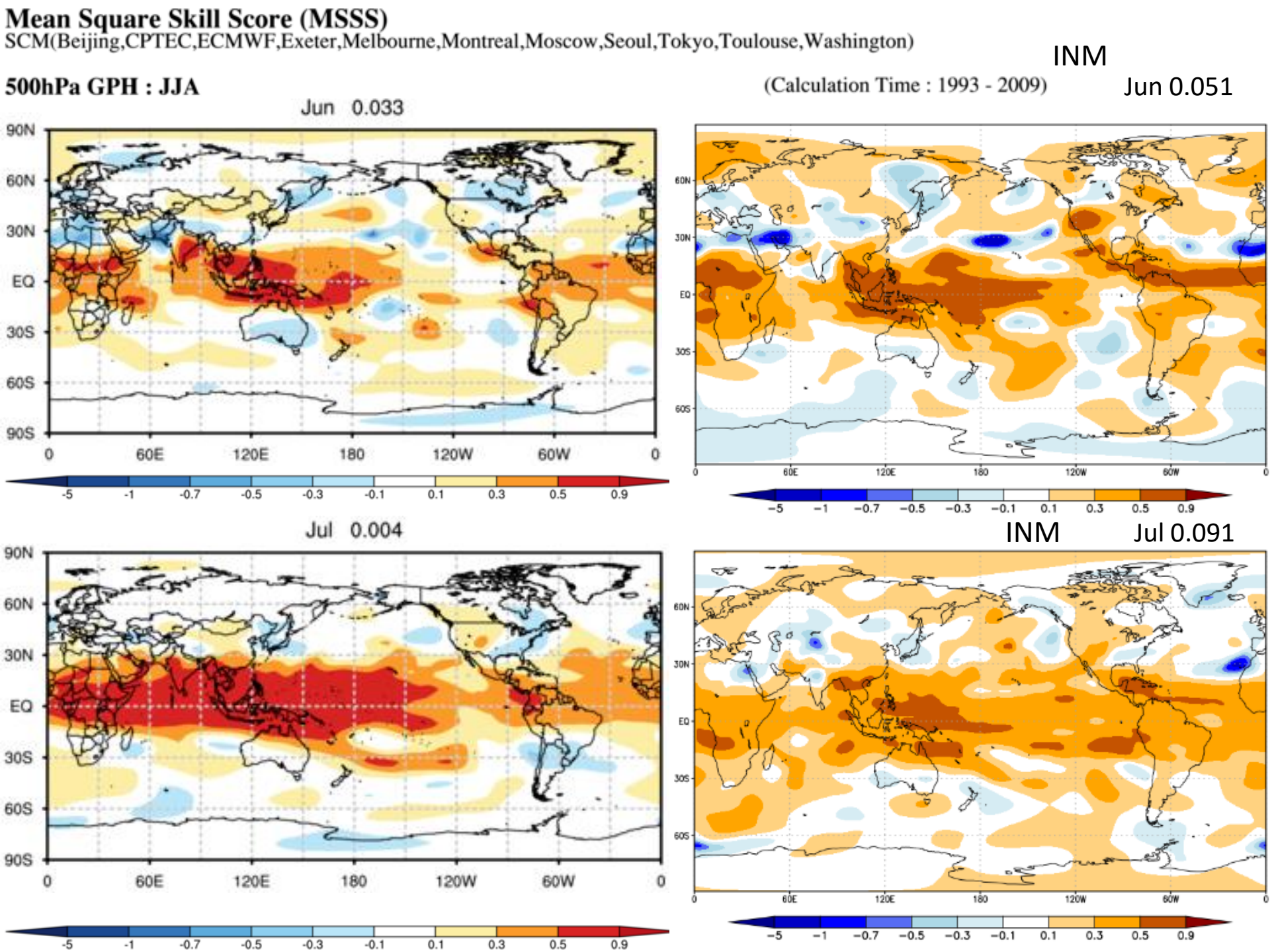
$$MSE_{cj} = \left(\frac{n}{n-1}\right)^2 \cdot \frac{1}{n} \sum_{i=1}^{n} \left(x_{ij} - \overline{x_j}\right)^2$$

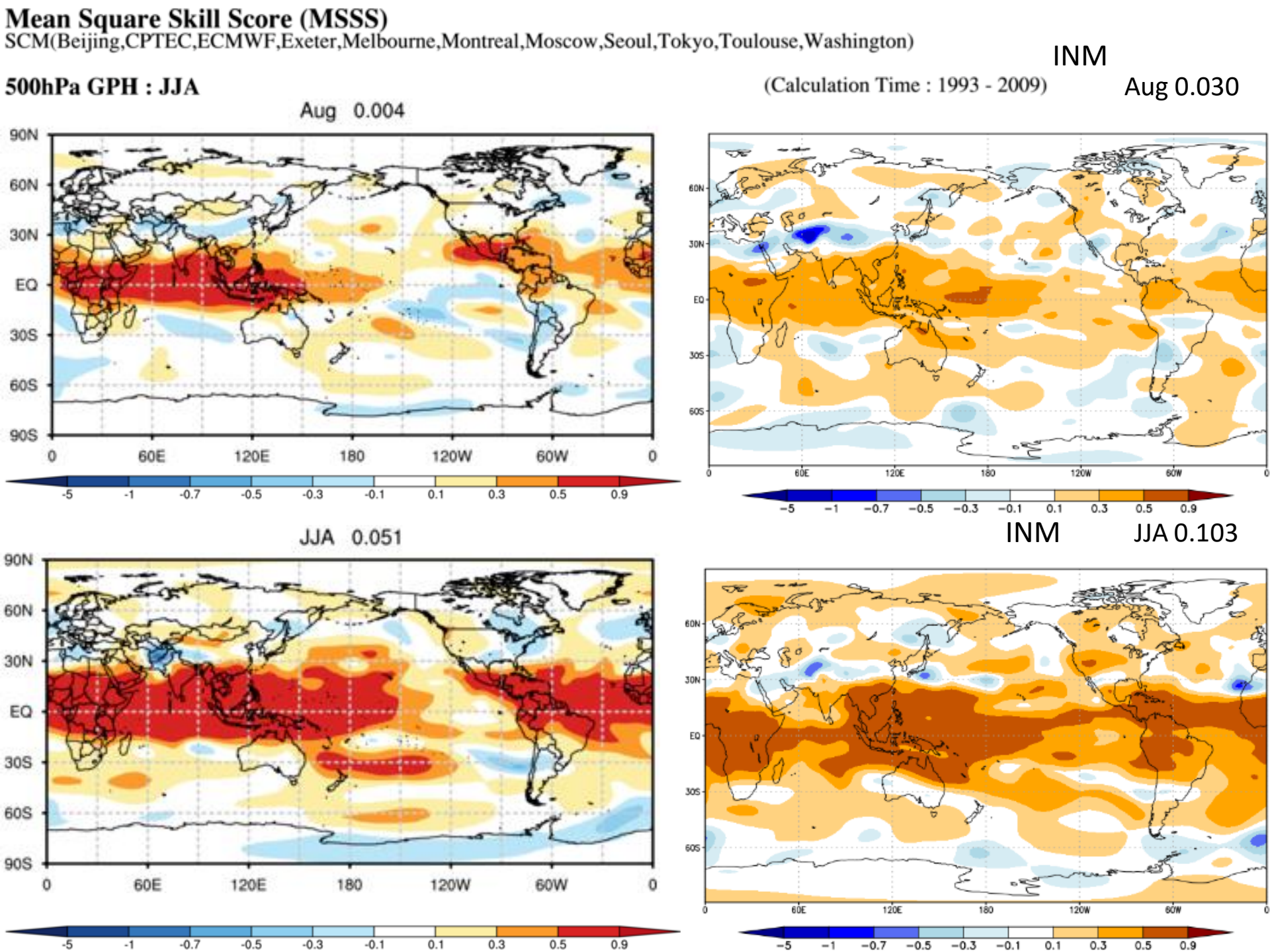
Тогда
$$MSSS_j = 1 - \frac{MSE_j}{MSE_{cj}}, MSSS = 1 - \frac{\sum_j w_j MSE_j}{\sum_j w_j MSE_{cj}}$$
 , где $w_j = \cos\left(\theta_j\right)$

	ECMWF	DWD	MeteoFrance	GFS	MetOffice	MME	INM
T2m	0.008	-0.020	-0.041	-0.119	0.013	0.085	-0.009
T850	0.028	0.050	0.043	-0.029	0.104	0.092	0.108
H500	-0.042	0.081	0.037	0.007	0.098	0.051	0.103
SLP	-0.028	0.072	0.050	0.031	0.095	0.046	0.091
Precip	0.126	-0.189	-0.047	-0.216	-0.016	0.195	-0.203

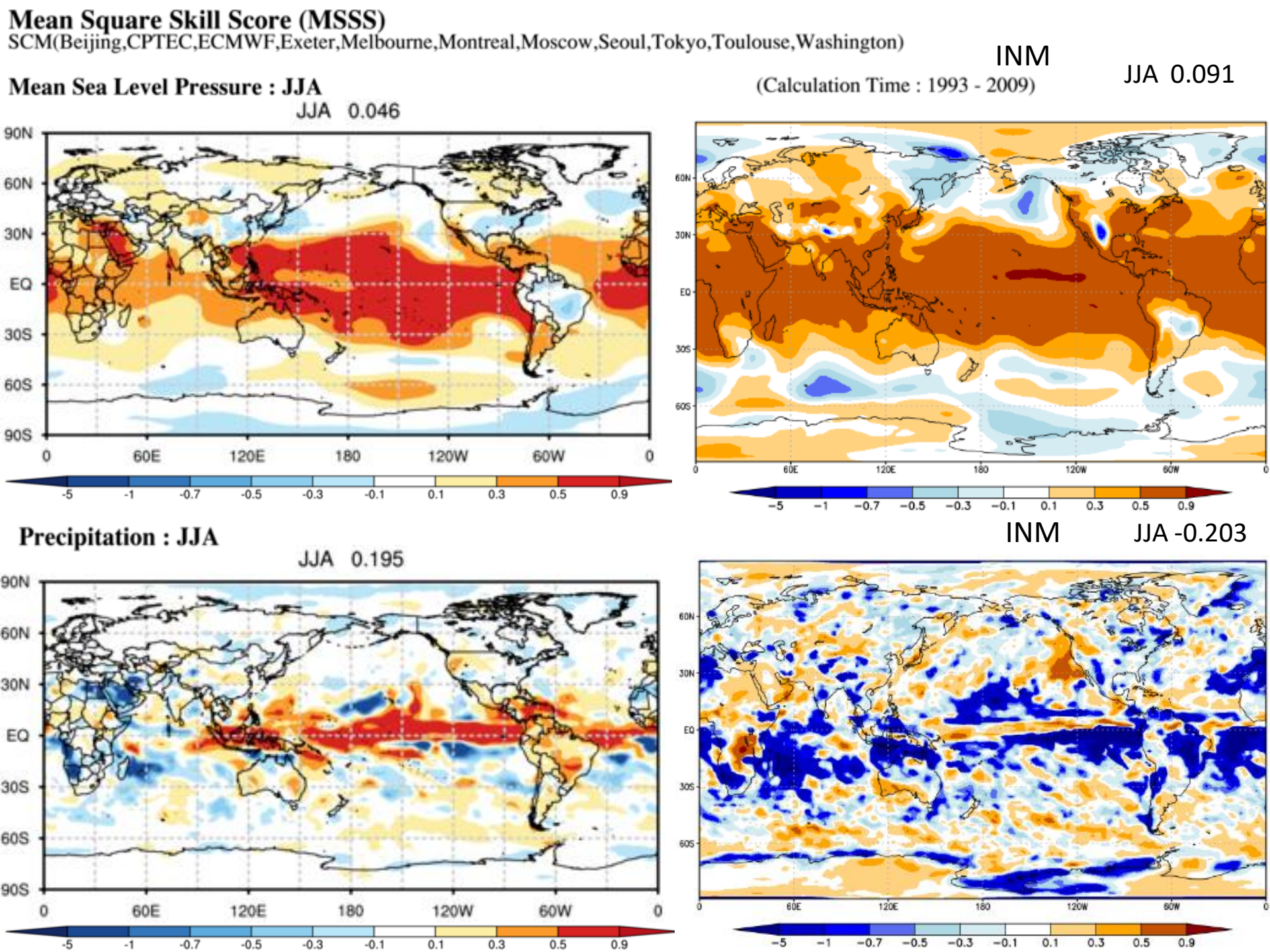
<u>Табл.</u> JJA MSSS для различных прогностических систем и мультимодельного ансамбля MME.

Для модели INM-CM5 значение приведено для ансамбля из 10 экспериментов.





Mean Square Skill Score (MSSS) SCM(Beijing,CPTEC,ECMWF,Exeter,Melbourne,Montreal,Moscow,Seoul,Tokyo,Toulouse,Washington) INM JJA -0.009 2m Temperature: JJA (Calculation Time: 1993 - 2009) JJA 0.085 90N 60N 30N EQ 308 60S 908 60E 120E 180 120W 60W 120E 0.1 -0.3 -0.1 0.3 0.5 0.9 850hPa Temperature : JJA INM JJA 0.108 JJA 0.092 90N 60N 30N EQ 30S 30S 60S 60S 908 60E 120E 180 120W 60W 120E 180 -0.5 -0.3 0.3 0.5 -0.30.5



Выводы

- Отклик на явления Эль-Ниньо и Ла-Нинья:
 - виден в картине аномалий данных температуры поверхности
- отображается в коэффициентах корреляции аномалий температуры на 2м в тропиках
- картина аномалий осадков соответствует теоретически ожидаемой в годы сильных явлений Эль-Ниньо (1987г.) и Ла-Нинья (1988г.) и согласуется с картиной аномалий реанализа
- Увеличение количества членов прогностического ансамбля приводит к улучшению качества прогноза
- ▶С увеличением номера месяца возрастает расхождение модельного прогноза с реанализом, как и ожидалось
- ➤ Коэффициенты корреляции аномалий по пространству/времени, ROC score, MSSS имеют значения, сравнимые с результатами моделей ведущих прогностических центров, однако, есть, к чему стремиться

Спасибо за внимание!

E-mail:

VVorobyeva@yandex.ru vasilisa.vorobyeva@phystech.edu